



SPRAWOZDANIE NR 12/OS/0269/26

Z POMIARÓW NATĘŻENIA PÓL ELEKTROMAGNETYCZNYCH

WYKONANYCH DLA CELÓW OCHRONY ŚRODOWISKA

Miejsce wykonania badania:	OPO1030B	
	45-837 Opole, Wrocławska 107 , pow. Opole, woj. OPOLSKIE	
Współrzędne geograficzne:	50°40'39.10"N, 17°53'18.10"E	
Data Zlecenia:	24.06.2026	
Data wykonania pomiarów:	29.06.2026	
Data wydania sprawozdania:	01.07.2026	
Zleceniodawca:	P4 sp. z o.o. ul. Wynałazek 1 02-667 Warszawa	
Sprawozdanie wykonał:	Sprawdził:	Autoryzował:
 Specjalista ds. analiz i wizualizacji wyników	 Kierownik Laboratorium	 Kierownik ds. jakości

1. INFORMACJE O UŻYTKOWNIKU ¹

- **Zleceniodawca:** P4 sp. z o.o. ul. Wynalazek 1, 02-667 Warszawa
- **Typ obiekt:** Instalacja radiokomunikacyjna zainstalowana na dachu budynku biurowego
- **Numer obiektu:** OPO1030B
- **Adres obiektu:** 45-837 Opole, Wrocławska 107, pow. Opole, woj. OPOLSKIE
- **Współrzędne geograficzne:** 50°40'39.10"N, 17°53'18.10"E

2. CHARAKTERYSTYKA ŹRÓDEŁ PEM ¹

Tabela 1. Parametry systemu nadawczo-odbiorczego

Charakterystyka promieniowania				kierunkowa					
Rzeczywisty czas pracy [h/dobę]				Całodobowa 24h					
Warunki pracy				Znamionowe					
Rodzaj wytwarzanego pola				stacjonarne					
Lp.	Typ nadajnika	Antena Producent / Typ	Azymut [°]	Wysokość środku elektr. anteny [m n.p.t.]	Pasma [Mhz]	Kąt nachylenia [°]	EIRP dla anteny [W]	LON	LAT
1	RBS6xxx/2xxx/4xxx	Huawei ATR4518R6	55	21,5	700	0 - 10	22593	17°53'18.10"E	50°40'39.10"N
	RBS6xxx/2xxx/4xxx				800	0 - 10		17°53'18.10"E	50°40'39.10"N
	RBS6xxx/2xxx/4xxx				900	0 - 10		17°53'18.10"E	50°40'39.10"N
	RBS6xxx/2xxx/4xxx				1800	0 - 10		17°53'18.10"E	50°40'39.10"N
	RBS6xxx/2xxx/4xxx				2100	0 - 10		17°53'18.10"E	50°40'39.10"N
2	RBS6xxx/2xxx/4xxx	Huawei ATR4518R6	55	21,5	700	0 - 10	15897	17°53'18.10"E	50°40'39.10"N
	RBS6xxx/2xxx/4xxx				800	0 - 10		17°53'18.10"E	50°40'39.10"N
	RBS6xxx/2xxx/4xxx				900	0 - 10		17°53'18.10"E	50°40'39.10"N
	RBS6xxx/2xxx/4xxx				2600	0 - 10		17°53'18.10"E	50°40'39.10"N
3	RBS6xxx/2xxx/4xxx	Huawei ATR4518R6	170	21,5	700	0 - 10	22593	17°53'18.10"E	50°40'39.10"N
	RBS6xxx/2xxx/4xxx				800	0 - 10		17°53'18.10"E	50°40'39.10"N
	RBS6xxx/2xxx/4xxx				900	0 - 10		17°53'18.10"E	50°40'39.10"N
	RBS6xxx/2xxx/4xxx				1800	0 - 10		17°53'18.10"E	50°40'39.10"N
	RBS6xxx/2xxx/4xxx				2100	0 - 10		17°53'18.10"E	50°40'39.10"N
4	RBS6xxx/2xxx/4xxx	Huawei ATR4518R6	170	21,5	700	0 - 10	15897	17°53'18.10"E	50°40'39.10"N
	RBS6xxx/2xxx/4xxx				800	0 - 10		17°53'18.10"E	50°40'39.10"N
	RBS6xxx/2xxx/4xxx				900	0 - 10		17°53'18.10"E	50°40'39.10"N
	RBS6xxx/2xxx/4xxx				2600	0 - 10		17°53'18.10"E	50°40'39.10"N
5	RBS6xxx/2xxx/4xxx	Huawei ATR4518R6	300	21,5	700	0 - 10	22593	17°53'18.10"E	50°40'39.10"N
	RBS6xxx/2xxx/4xxx				800	0 - 10		17°53'18.10"E	50°40'39.10"N
	RBS6xxx/2xxx/4xxx				900	0 - 10		17°53'18.10"E	50°40'39.10"N
	RBS6xxx/2xxx/4xxx				1800	0 - 10		17°53'18.10"E	50°40'39.10"N
	RBS6xxx/2xxx/4xxx				2100	0 - 10		17°53'18.10"E	50°40'39.10"N

¹ Dane pozyskane od Klienta

Charakterystyka promieniowania				kierunkowa					
Rzeczywisty czas pracy [h/dobę]				Całodobowa 24h					
Warunki pracy				Znamionowe					
Rodzaj wytwarzanego pola				stacjonarne					
Lp.	Typ nadajnika	Antena Producent / Typ	Azymut [°]	Wysokość środka elektr. anteny [m n.p.t.]	Pasma [Mhz]	Kąt nachylenia [°]	EIRP dla anteny [W]	LON	LAT
6	RBS6xxx/2xxx/4xxx	Huawei ATR4518R6	300	21,5	700	0 - 10	15897	17°53'18.10"E	50°40'39.10"N
	RBS6xxx/2xxx/4xxx				800	0 - 10		17°53'18.10"E	50°40'39.10"N
	RBS6xxx/2xxx/4xxx				900	0 - 10		17°53'18.10"E	50°40'39.10"N
	RBS6xxx/2xxx/4xxx				2600	0 - 10		17°53'18.10"E	50°40'39.10"N

Tabela 2. Parametry radiolinii

Charakterystyka promieniowania				kierunkowa					
Rzeczywisty czas pracy [h/dobę]				24					
Rodzaj wytwarzanego pola				stacjonarne					
Linia radiowa				Antena					
Lp.	Typ nadajnika	Częstotliwość pracy [GHz]	Moc wyjściowa [dBm]	Typ/producent	Średnica anteny [m]	Azymut [°]	Wysokość zainstal. [m]	LON	LAT
1	OPTIX RTN/HUAWEI	80	19	0.3-80(VHLP1-80)	0,3	350	18,2	17°53'18.10"E	50°40'39.09"N

Inne źródła PEM: W obszarze pomiarowym badanego obiektu **występują** inne źródła promieniowania pola elektromagnetycznego, które w zakresie badanych częstotliwości bezpośrednio wpływają na wynik wartości mierzonej natężenia pola.

3. OPIS POMIARÓW

Cel badań: Sprawdzenie dotrzymania dopuszczalnych poziomów pól elektromagnetycznych, w otoczeniu instalacji wytwarzających takie pola.

3.1. Data oraz warunki pomiarów

Data pomiarów	Godzina		Opady	Temperatura [C]		Wilgotność [%]	
	rozpoczęcia pomiarów	zakończenia pomiarów		Minimalna	Maksymalna	Minimalna	Maksymalna
29.06.2026	14:40	16:30	Brak	31,2	31,3	51,5	51,6

3.2. Aparatura pomiarowa:

Tabela 3. Opis zestawu pomiarowego

Nazwa	Typ/model	Numer fabryczny/SN	Świadectwo wzorcowania	Zastosowanie
Szerokopasmowy miernik natężenia pola elektromagnetycznego	FieldMan	B-0098	LWiMP/W/083/26 z dnia 26.02.2026 (Laboratorium Wzorców i Metrologii Pola Elektromagnetycznego Instytutu Telekomunikacji, Teleinformatyki i Akustyki Politechniki Wrocławskiej)	Pomiary pola elektromagnetycznego
Sonda pomiarowa pola elektrycznego	EFD-6091	A-0071		
Szerokopasmowy miernik natężenia pola elektromagnetycznego	NBM- 520	D-2187	LWiMP/W/406/24 z dnia 15.11.2024 (Laboratorium Wzorców i Metrologii Pola Elektromagnetycznego Instytutu Telekomunikacji, Teleinformatyki i Akustyki Politechniki Wrocławskiej)	Pomiary pola elektromagnetycznego
Sonda pomiarowa pola elektrycznego	EF-0691	J-0201		
Termohigrometr	Termioplus	190724	3423/2024 z dnia 03.09.2024 (Instytut Energetyki - Państwowy Instytut Badawczy)	Pomiary wilgotności względnej powietrza Pomiary temperatury powietrza
Odbiornik GPS	Garmin GLO2	1792A-A1156/5PS076430	-	Pomiar współrzędnych geograficznych

3.3. Wyznaczenie niepewności pomiarów:

Ocenę niepewności przyjmuje się zgodnie z procedurą stosowaną w laboratorium.

Wyznaczona rozszerzona niepewność pomiaru dla współczynnika rozszerzenia $k = 2$ dla zestawu pomiarowego z pkt.3.2 w dniu pomiaru wynosi 58,67%.

3.4. Kryteria przedstawiania stwierdzeń zgodności

Niniejsze sprawozdanie zgodnie z zasadami systemu akredytacji zawiera stwierdzenia zgodności.

W przypadku badań poziomów pola elektromagnetycznego w środowisku stwierdzenie zgodności dotyczy rozstrzygnięcia, czy zmierzona wartość opisująca pole elektromagnetyczne przekracza wartość dopuszczalną dla zakresu częstotliwości, w którym pracują źródła podaną w Rozporządzeniu Ministra Zdrowia z dnia 17 grudnia 2019 r. w sprawie dopuszczalnych poziomów pól elektromagnetycznych w środowisku (Dz. U. z 2019 r. poz. 2448).

3.5. Metodyka wykonania pomiarów:

Zastosowano metodę znormalizowaną w oparciu o Rozporządzenie Ministra Klimatu i Środowiska z dnia 6 maja 2022 r. zmieniające rozporządzenie w sprawie sposobów sprawdzania dotrzymania dopuszczalnych poziomów pól elektromagnetycznych w środowisku (Dz.U. 2022 poz. 1121).

3.6. Przepisy prawne:

- Ustawa z dnia 27 kwietnia 2001 r. Prawo ochrony środowiska (Dz.U. 2024 r. poz. 834).
- Rozporządzenie Ministra Zdrowia z dnia 17 grudnia 2019 r. w sprawie dopuszczalnych poziomów pól elektromagnetycznych w środowisku (Dz. U. z 2019 r. poz. 2448).
- Rozporządzenie Ministra Klimatu z dnia 17 lutego 2020 r. w sprawie sposobów sprawdzania dotrzymania dopuszczalnych poziomów pól elektromagnetycznych w środowisku Załącznik do obwieszczenia Ministra Klimatu i Środowiska z dnia 21 listopada 2022 r. (Dz. U. poz. 2630).

3.7. Opis pomiarów

Stacja bazowa OPO1030B usytuowana jest na dachu budynku biurowego zlokalizowanego pod adresem 45-837 Opole, Wrocławska 107, pow. Opole, woj. OPOLSKIE. Anteny i moduły RRU zamontowane są na antenowych konstrukcjach wsporczych a urządzenia są w szafie APM zainstalowanej na dachu. W otoczeniu stacji zlokalizowana jest zabudowa wielorodzinna, handlowo-usługowa oraz użyteczności publicznej. Analiza parametrów technicznych wykazała, że urządzenia nadawcze stacji pracują w paśmie częstotliwości zgodnie z tabelą 1 oraz tabelą 2. Moc wyjściowa nadajników doprowadzona jest do anten przy pomocy ekranowanych fiderów.

Pomiary w otoczeniu stacji bazowej wykonano wzdłuż kierunków maksymalnego zasięgu oddziaływania pola elektromagnetycznego na kierunkach osi głównych wiązek anten sektorowych do odległości określonej zgodnie z wytycznymi zawartymi w instrukcji wykonywania pomiarów, podczas rzeczywistej pracy urządzeń wytwarzających pola elektromagnetyczne.

Pomiary wykonano dla średniego pochylecia wiązki liczonego jako średnia arytmetyczna z minimalnej i maksymalnej wartości stosowanego lub planowanego kąta pochylecia. Średnie wartości tilt ustawiane są przez Klienta. W przypadku, gdy na danym azymucie zainstalowano kilka anten, średnia wartości tilt ustawiona jest jednakowa dla wszystkich anten. Przyjmuje się najgorszą wartość spośród anten zainstalowanych na danym kierunku.

Pomiary w przyjętych pionach pomiarowych wykonano w punktach położonych na wysokościach od 0,3 m do 2,0 m nad powierzchnią ziemi lub nad innymi powierzchniami, na których mogą przebywać ludzie, przyjmując za wynik pomiaru maksymalny poziom natężenie pól elektromagnetycznego.

Pomiary wykonano w dodatkowych pionach pomiarowych w lokalach oraz na balkonach i tarasach, na których mogą przebywać ludzie, po poinformowaniu o planowanych pomiarach z minimum 3-dniowym wyprzedzeniem i po umożliwieniu dostępu do lokalu, balkonu lub tarasu przez jego dysponenta lub bez zachowania terminu wskazanego w pierwszej części zdania za zgodą dysponenta przestrzeni pomiarowej.

Punkty pomiarowe wewnątrz budynków oraz na tarasach/balkonach wyznaczono na podstawie przeprowadzonych obliczeń rozkładu pola elektromagnetycznego. Jako wartość graniczną do wyznaczenia odległości zasięgu pola elektromagnetycznego przyjęto wartość 9 V/m. Jest to wartość wypadkowa po uwzględnieniu współczynników odpowiadającym emisji z obcych źródeł promieniowania elektromagnetycznego oraz efekt odbicia fal radiowych. Obliczenia te wykonywane są uwzględniając parametry systemu antenowego dostarczone przez Klienta, W tym obszarze pomiary w budynkach wykonywane są obowiązkowo. Jeżeli w ww. obszarze nie zlokalizowano żadnych budynków dodatkowo wyznaczono reprezentatywne budynki, wewnątrz których wykonano dodatkowe pomocnicze punkty pomiarowe.

Przy doborze pionów pomiarowych uwzględniono charakter i sposób zagospodarowania terenu otaczającego stację bazową.

3.8. Sposób identyfikacji widma częstotliwości:

Parametry stacji bazowej uzyskane od właściciela instalacji stacji bazowej.

4. WYNIKI POMIARÓW

Wyniki pomiarów ważne są jedynie dla danej konfiguracji urządzeń w dniu, w którym wykonano pomiary.

Wynik pomiaru, to maksymalna wartości chwilowa zmierzona w danym pionie pomiarowym powiększona o rozszerzoną niepewność pomiaru U dla współczynnika rozszerzenia $k = 2$ (dla poziomu ufności 95%).

Tabela 4. Dopuszczalne poziomy pól elektromagnetycznych

Parametr fizyczny Zakres częstotliwości pola elektromagnetycznego	Składowa elektryczna	Składowa magnetyczna
od 400 MHz do 2000 MHz	$1,375 \times f^{0,5}$ V/m	$0,00375 \times f^{0,5}$ A/m
Od 2 GHz do 300 GHz	61 V/m	0,16 A/m

Do wyznaczania wartości wskaźnikowych WM_E i WM_H przyjęto najniższe wartości dopuszczalne poziomów pól elektromagnetycznych w/w zakresach częstotliwości.

Tabela 5. Wyniki pomiarów

Nr pionu	Opis miejsca pomiaru	Pomiar wewnątrz pomieszczenia	Współrzędne geograficzne		Wynik poniżej progu detekcji*	E_p [V/m]	U [V/m]	$E_p + U$ [V/m]	H [A/m]	WME	WMH	Przekroczenie wartości dopuszczalnej
			[°] E	[°] N								
1	Poziom gruntu - oś głównej wiązki anteny sektorowej azymut 55st	NIE	17,888707865	50,677596505	NIE	3,12	1,84	4,96	0,013	0,18	0,178	nie przekracza
2	Poziom gruntu - oś głównej wiązki anteny sektorowej azymut 55st	NIE	17,888893572	50,677680365	NIE	2,80	1,65	4,45	0,012	0,16	0,160	nie przekracza
3	Poziom gruntu - oś głównej wiązki anteny sektorowej azymut 55st	NIE	17,889382678	50,677895733	NIE	1,92	1,13	3,05	0,008	0,11	0,109	nie przekracza
4	Poziom gruntu - oś głównej wiązki anteny sektorowej azymut 55st	NIE	17,889858767	50,678105392	NIE	1,10	0,65	1,75	0,005	0,06	0,063	nie przekracza
5	Poziom gruntu - oś głównej wiązki anteny sektorowej azymut 170st	NIE	17,888296374	50,677242680	NIE	3,11	1,83	4,94	0,013	0,18	0,177	nie przekracza
6	Poziom gruntu - oś głównej wiązki anteny sektorowej azymut 170st	NIE	17,888359040	50,677024588	NIE	2,91	1,71	4,62	0,012	0,17	0,166	nie przekracza
7	Poziom gruntu - oś głównej wiązki anteny sektorowej azymut 170st	NIE	17,888424199	50,676787862	NIE	2,01	1,18	3,19	0,008	0,11	0,114	nie przekracza
8	Poziom gruntu - oś głównej wiązki anteny sektorowej azymut 170st	NIE	17,888527529	50,676413054	NIE	1,52	0,90	2,42	0,006	0,09	0,087	nie przekracza
9	Poziom gruntu - oś głównej wiązki anteny sektorowej azymut 170st	NIE	17,888620923	50,676097771	NIE	1,22	0,72	1,94	0,005	0,07	0,070	nie przekracza
10	Poziom gruntu - oś głównej wiązki anteny sektorowej azymut 300st	NIE	17,888020257	50,677476689	NIE	3,14	1,85	4,99	0,013	0,18	0,179	nie przekracza
11	Poziom gruntu - oś głównej wiązki anteny sektorowej azymut 300st	NIE	17,887631544	50,677618986	NIE	2,98	1,75	4,73	0,013	0,17	0,170	nie przekracza
12	Poziom gruntu - oś głównej wiązki anteny sektorowej azymut 300st	NIE	17,886878577	50,677904898	NIE	2,01	1,18	3,19	0,008	0,11	0,114	nie przekracza
13	Poziom gruntu - oś głównej wiązki anteny sektorowej azymut 300st	NIE	17,886449326	50,678060659	NIE	1,32	0,78	2,10	0,006	0,08	0,075	nie przekracza
14	Poziom gruntu - oś głównej wiązki anteny radioliniowej azymut 350st	NIE	17,888199946	50,677607198	NIE	2,21	1,30	3,51	0,009	0,13	0,126	nie przekracza

Nr pionu	Opis miejsca pomiaru	Pomiar wewnątrz pomieszczenia	Współrzędne geograficzne		Wynik poniżej progu detekcji*	E_p [V/m]	U [V/m]	$E_p + U$ [V/m]	H [A/m]	WME	WMH	Przekroczenie wartości dopuszczalnej
			[°] E	[°] N								
15	Poziom gruntu - oś głównej wiązki anteny radioliniowej azymut 350st	NIE	17,888110738	50,677958062	NIE	1,46	0,86	2,32	0,006	0,08	0,083	nie przekracza
16	Poziom gruntu - oś głównej wiązki anteny radioliniowej azymut 350st	NIE	17,887997430	50,678278543	NIE	1,16	0,69	1,85	0,005	0,07	0,066	nie przekracza
17	Wrocławska 107 - Piętro 1 okno otwarte	TAK	17,888514066	50,677469817	NIE	3,04	1,79	4,83	0,013	0,17	0,173	nie przekracza
18	Domańskiego Bolesława, ks. 4 - Wejście do parafii	TAK	17,889202782	50,677348200	NIE	1,82	1,07	2,89	0,008	0,10	0,104	nie przekracza
19	Domańskiego Bolesława, ks. 4 - Kościół w środku	TAK	17,889247808	50,677616837	TAK	<0,80	0,47	1,27	0,003	0,05	0,046	nie przekracza
20	Poziom gruntu - pomocniczy pion pomiarowy	NIE	17,887850337	50,676990113	NIE	1,44	0,85	2,29	0,006	0,08	0,082	nie przekracza
21	Poziom gruntu - pomocniczy pion pomiarowy	NIE	17,887323928	50,677246735	NIE	1,32	0,78	2,10	0,006	0,08	0,075	nie przekracza
22	Poziom gruntu - pomocniczy pion pomiarowy	NIE	17,889080838	50,676826926	NIE	1,82	1,07	2,89	0,008	0,10	0,104	nie przekracza

Objaśnienia:

$$E_p: E_{poprawne} = E_{wskazane} * C_{d(E)} * C_{f(f)}$$

$E_{wskazane}$ - zmierzona maksymalna wartość chwilowa natężenia pola elektrycznego

$C_{d(E)}$ – charakterystyka dynamiczna sondy – zgodna ze świadectwem wzorcowania

$C_{f(f)}$ – charakterystyka częstotliwościowa sondy – zgodna ze świadectwem wzorcowania

H – wyznaczona wartość natężenia pola magnetycznego z uwzględnieniem współczynnika korekcyjnego oraz rozszerzonej niepewności pomiaru.

WME - wartość wskaźnikowa poziomu oddziaływania pól elektromagnetycznych dla miejsc dostępnych dla ludności dla składowej elektrycznej pola.

WMH - wartość wskaźnikowa poziomu oddziaływania pól elektromagnetycznych dla miejsc dostępnych dla ludności dla składowej magnetycznej pola.

* Wynik poniżej progu detekcji - wartość zmierzona poniżej zakresu akredytacji. Do obliczeń przyjęto wartość zgodną z dolną granicą akredytowanego zakresu pomiarowego metody.

Dobór pionów pomiarowych zlokalizowanych wewnątrz budynków oraz na tarasach/balkonach, w których wykonano dodatkowe pomiary, wyznaczono na podstawie przeprowadzonych obliczeń rozkładu pola elektromagnetycznego zgodnie z wewnętrznymi procedurami laboratorium.

** - Brak dostępu.

5. WNIOSKI

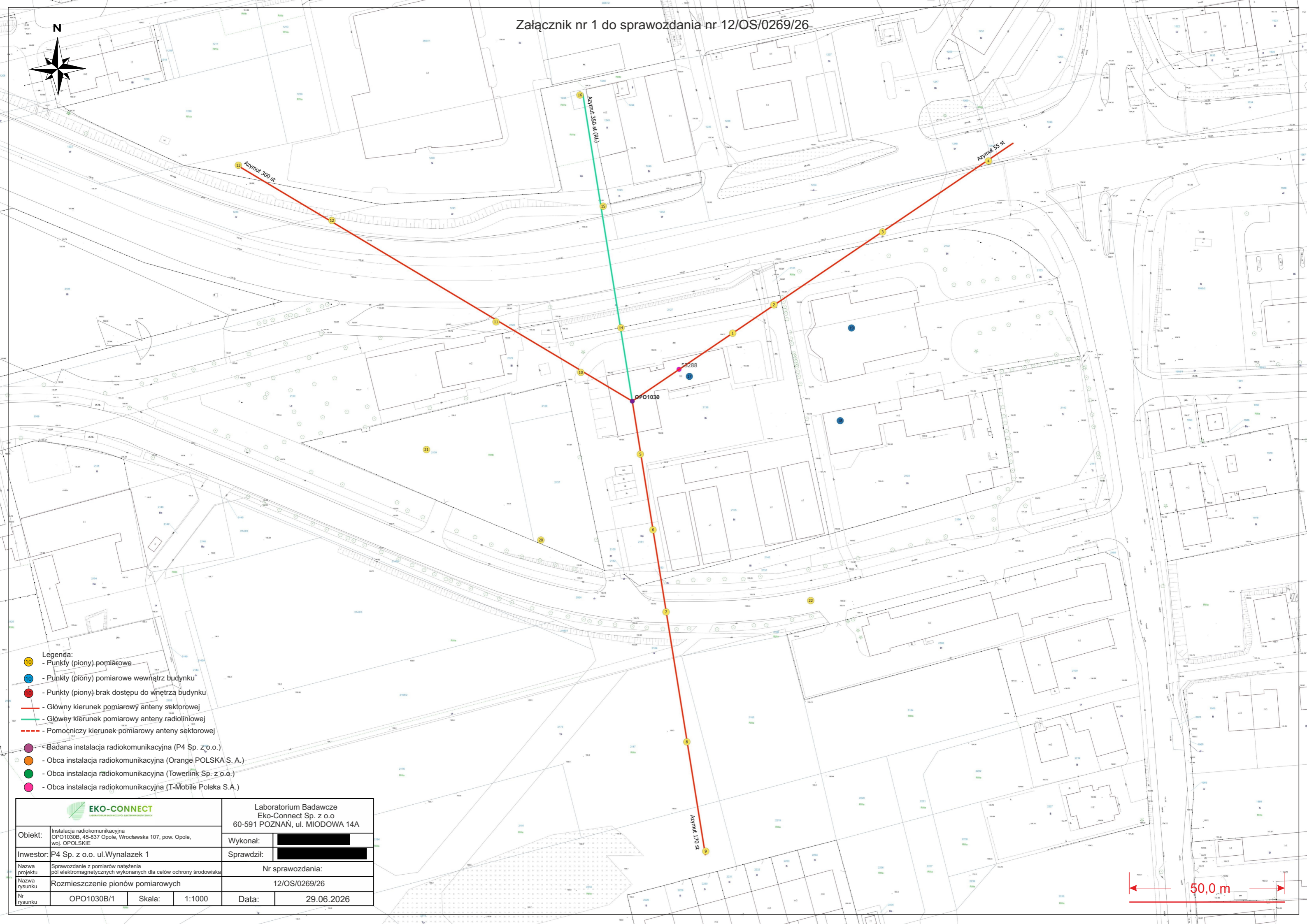
Stwierdza się, iż na podstawie uzyskanych wyników pomiarów i informacji uzyskanych od operatora, w otoczeniu stacji bazowej telefonii komórkowej OPO1030B w miejscach dostępnych dla ludności, w których dokonano pomiaru, nie zostały przekroczone wartości graniczne poziomów pól elektromagnetycznych określonych w Rozporządzeniu Ministra Zdrowia z dnia 17 grudnia 2019 r. w sprawie dopuszczalnych poziomów pól elektromagnetycznych w środowisku (Dz. U. z 2019 r. poz. 2448).

Stwierdzenie zgodności zostało przedstawione na podstawie wyników badań oraz informacji uzyskanych od Klienta (za które Laboratorium nie ponosi odpowiedzialności) dla instalacji opisanej w punkcie 2. Stwierdzenia zgodności dokonano na podstawie zasady podejmowania decyzji i wymagań zawartych w załączniku do Rozporządzenia Ministra Klimatu z dnia 17 lutego 2020 r. w sprawie sposobów sprawdzania dotrzymania dopuszczalnych poziomów pól elektromagnetycznych w środowisku (Dz.U. 2022 poz. 2630 z 15.12.2022r.).

- Sprawozdanie zawiera 9 stron
- Załączniki: nr 1 – mapa z rozmieszczeniem pionów pomiarowych wokół obiektu
- Otrzymują:
 1. Zleceniodawca: - 1 egz.
 2. a / a: 1 egz.

Bez pisemnego zezwolenia laboratorium Eko-Connect Sp. z o.o. sprawozdanie nie może być powielane inaczej, jak tylko w całości.

KONIEC SPRAWOZDANIA



- Legenda:**
- 10 - Punkty (piony) pomiarowe
 - 10 - Punkty (piony) pomiarowe wewnątrz budynku
 - 10 - Punkty (piony) brak dostępu do wnętrza budynku
 - - Główny kierunek pomiarowy anteny sektorowej
 - - Główny kierunek pomiarowy anteny radioliniowej
 - - - - Pomocniczy kierunek pomiarowy anteny sektorowej
 - - Badana instalacja radiokomunikacyjna (P4 Sp. z o.o.)
 - - Obca instalacja radiokomunikacyjna (Orange POLSKA S.A.)
 - - Obca instalacja radiokomunikacyjna (Towerlink Sp. z o.o.)
 - - Obca instalacja radiokomunikacyjna (T-Mobile Polska S.A.)

EKO-CONNECT <small>LABORATORIUM BADAWCZE Pól ELEKTROMAGNETYCZNYCH</small>		Laboratorium Badawcze Eko-Connect Sp. z o.o 60-591 POZNAŃ, ul. MIODOWA 14A	
Objekt:	Instalacja radiokomunikacyjna OPO1030B, 45-837 Opole, Wrocławska 107, pow. Opole, woj. OPOLSKIE	Wykonał:	XXXXXXXXXX
Investor:	P4 Sp. z o.o. ul.Wynalazek 1	Sprawdził:	XXXXXXXXXX
Nazwa projektu	Sprawozdanie z pomiarów natężenia pól elektromagnetycznych wykonanych dla celów ochrony środowiska	Nr sprawozdania:	
Nazwa rysunku	Rozmieszczenie pionów pomiarowych	12/OS/0269/26	
Nr rysunku	OPO1030B/1	Skala:	1:1000
		Data:	29.06.2026

